

## Laboratorio Semana X

### FIRST

Sea  $G = \langle N, \Sigma, P, S \rangle$  una gramática libre de contexto. Construiremos el conjunto  $FIRST(X)$  donde  $X \in N \cup \Sigma$  recursivamente como:

1.  $X \in \Sigma \Rightarrow FIRST(X) = \{X\}$
2.  $X \rightarrow \lambda \in P \Rightarrow FIRST(X) = FIRST(X) \cup \{\lambda\}$
3. Si  $X \Rightarrow Y_1 Y_2 \dots Y_k$  entonces
  - a)  $(\forall j : 1 \leq j < i \wedge \lambda \in FIRST(Y_j)) \wedge a \in FIRST(Y_i) \Rightarrow FIRST(X) = FIRST(X) \cup \{a\}$
  - b)  $(\forall j : \lambda \in FIRST(Y_j)) \Rightarrow FIRST(X) = FIRST(X) \cup \{\lambda\}$

### FOLLOW

Sea  $G = \langle N, \Sigma, P, S \rangle$  una gramática libre de contexto. Construiremos el conjunto  $FOLLOW(X)$  donde  $X \in N$  recursivamente como:

1.  $\$ \in FOLLOW(S)^1$
2.  $A \rightarrow \alpha B \beta \in P \Rightarrow FOLLOW(B) = FOLLOW(B) \cup FIRST(\beta)$  excepto  $\lambda$ .
3.  $A \rightarrow \alpha B \in P \vee (A \rightarrow \alpha B \beta \in P \wedge \lambda \in FIRST(\beta)) \Rightarrow FOLLOW(B) = FOLLOW(B) \cup FOLLOW(A)$

### Ejemplo 1

Calculemos  $FIRST$  y  $FOLLOW$  para todos los símbolos pertinentes de la gramática

- (1)  $E \rightarrow TE'$
- (2)  $E' \rightarrow +TE'$
- (3)  $E' \rightarrow \lambda$
- (4)  $T \rightarrow FT'$
- (5)  $T' \rightarrow *FT'$
- (6)  $T' \rightarrow \lambda$
- (7)  $F \rightarrow (E)$
- (8)  $F \rightarrow \mathbf{id}$

Para el cálculo del  $FIRST$ :

- Por la producción (1) y la regla (3a) de  $FIRST \Rightarrow FIRST(E) = FIRST(T)$ .
- Por la producción (4) y la regla (3a) de  $FIRST \Rightarrow FIRST(T) = FIRST(F)$ .
- Por la producción (7) y la regla (3a) de  $FIRST \Rightarrow FIRST(F) \supset FIRST(( )$ , y por la regla (1) de  $FIRST$  inmediatamente  $FIRST(F) \supset \{(\}$ .
- Por la producción (8) y la regla (3a) de  $FIRST \Rightarrow FIRST(F) \supset FIRST(\mathbf{id})$ , y por la regla (1) de  $FIRST$  inmediatamente  $FIRST(F) \supset \{\mathbf{id}\}$ .

---

<sup>1</sup>El símbolo \$ es un terminal adicional que representa el final de la entrada.

- Por la producción (2) y la regla (3a) de  $FIRST \Rightarrow FIRST(E') \supset FIRST(+)$  y por la regla (1) de  $FIRST$  inmediatamente  $FIRST(E') \supset \{+\}$ .
- Por la producción (3) y la regla (2) de  $FIRST \Rightarrow FIRST(E') \supset \{\lambda\}$ .
- Por la producción (5) y la regla (3a) de  $FIRST \Rightarrow FIRST(T') \supset FIRST(*)$  y por la regla (1) de  $FIRST$  inmediatamente  $FIRST(T') \supset \{*\}$ .
- Por la producción (6) y la regla (2) de  $FIRST \Rightarrow FIRST(T') \supset \{\lambda\}$ .

Todo esto resulta en

$$\begin{aligned} FIRST(E) = FIRST(T) = FIRST(F) &= \{(\text{id})\} \\ FIRST(E') &= \{+, \lambda\} \\ FIRST(T') &= \{*, \lambda\} \end{aligned}$$

Para el cálculo del  $FOLLOW$ :

- Por la producción (1) y la regla (1) de  $FOLLOW \Rightarrow FOLLOW(E) \supset \{\$\}$
- Por la producción (7) y la regla (2) de  $FOLLOW \Rightarrow FOLLOW(E) \supset FIRST()$
- Por la producción (1) y la regla (3) de  $FOLLOW \Rightarrow FOLLOW(E') \supset FOLLOW(E) \setminus \{\lambda\}$
- Por la producción (4) y la regla (3) de  $FOLLOW \Rightarrow FOLLOW(T) \supset FOLLOW(T') \setminus \{\lambda\}$
- Por la producción (2) y la regla (3) de  $FOLLOW \Rightarrow FOLLOW(T) \supset FIRST(E') \setminus \{\lambda\}$
- Por la producción (4) y la regla (2) de  $FOLLOW \Rightarrow FOLLOW(F) \supset FIRST(T') \setminus \{\lambda\}$
- Por la producción (5) y la regla (3) de  $FOLLOW \Rightarrow FOLLOW(F) \supset FOLLOW(T') \setminus \{\lambda\}$

Todo esto resulta en

$$\begin{aligned} FOLLOW(E) = FOLLOW(E') &= \{\$, \}) \\ FOLLOW(T) = FOLLOW(T') &= \{\$, \), +\} \\ FOLLOW(F) &= \{\$, \), +, *\} \end{aligned}$$

### Construcción de Tablas de Parsing $SLR(1)$

El algoritmo de construcción de tablas de parsing  $LR(0)$  que estudiamos la semana pasada, sólo es capaz de generar tablas para gramáticas  $LR(0)$  que son muy pocas. El siguiente algoritmo, denominado también *Simple LR Parsing Table Generation* permite procesar más gramáticas. La diferencia principal radica en la forma en que se establecen las acciones *reduce*: en lugar de llenar toda la fila de la tabla de acciones con *reduce*, sólo se ocupan las columnas donde el terminal corresponda al  $FOLLOW$  del terminal que se está reduciendo.

El algoritmo de construcción queda como:

1. Aumentar la gramática original con un nuevo símbolo inicial  $S'$  tal que agregue la producción  $S' \rightarrow S$  donde  $S$  es el símbolo inicial original de la gramática.
2. Enumerar contando desde cero cada producción de la gramática aumentada comenzando por la nueva producción inicial.
3. Calcular el autómata de prefijos viables a partir de los items  $LR(0)$  de la gramática. Cada conjunto de items  $I_i$  servirá para construir el  $i$ -ésimo estado de la máquina parser  $SLR(1)$ .
4. Construir la tabla de *goto* usando una columna por cada símbolo no-terminal de la gramática original y una fila por cada estado. Si en el autómata de prefijos viables hay una transición desde  $I_i$  hasta  $I_j$  con el símbolo no terminal  $X$  entonces  $goto[i, X] \leftarrow j$ .

5. Construir la tabla de *acciones* usando una columna por cada símbolo terminal de la gramática aumentada incluyendo una para \$ y una fila por cada estado:
  - a) Si en el autómata de prefijos viables hay una transición desde  $I_i$  hasta  $I_j$  con el símbolo terminal  $\mathbf{x}$ , entonces  $acciones[i, \mathbf{x}] \leftarrow shift j$ .
  - b) Si en el autómata de prefijos viables el  $i$ -ésimo conjunto contiene un item de la forma  $A \rightarrow \alpha \cdot$  y  $A \rightarrow \alpha$  es la  $n$ -ésima producción de la gramática ( $n > 0$ ), entonces  $\forall \mathbf{a} \in FOLLOW(A) \wedge A \neq S' \Rightarrow acciones[i, \mathbf{a}] \leftarrow reduce \mathbf{n}$ , i.e. llenar con *reduce* solamente las columnas que correspondan a  $FOLLOW(A)$ .
  - c) Si en el autómata de prefijos viables el  $i$ -ésimo conjunto contiene un item de la forma  $S' \rightarrow S\$,$ , entonces  $acciones[i, \$] \leftarrow accept$ .
  - d) El resto de la tabla de *acciones* se llena con *error*.

Si durante la construcción de la tabla se producen conflictos en el llenado de la tabla de *acciones* entonces la gramática **no** es  $SLR(1)$  y es imposible utilizar el parser  $SLR(1)$  para procesarla.

## Ejemplo 2

Construyamos la tabla de parser  $SLR(1)$  para la gramática

$$\begin{aligned}
 E &\rightarrow E+T \\
 E &\rightarrow T \\
 T &\rightarrow T*F \\
 T &\rightarrow F \\
 F &\rightarrow (E) \\
 F &\rightarrow \mathbf{id}
 \end{aligned}$$

Calculamos

$$\begin{aligned}
 FOLLOW(E) &= \{\$, +, \}\} \\
 FOLLOW(T) = FOLLOW(F) &= \{\$, +, \}, *\}
 \end{aligned}$$

necesarios para construir la tabla de acciones.

Continuamos por aumentar la gramática con un nuevo símbolo no terminal inicial  $S$ . Enseguida enumeramos las producciones según describe el algoritmo, para tener

$$\begin{aligned}
 (0) \quad &S \rightarrow E \\
 (1) \quad &E \rightarrow E+T \\
 (2) \quad &E \rightarrow T \\
 (3) \quad &T \rightarrow T*F \\
 (4) \quad &T \rightarrow F \\
 (5) \quad &F \rightarrow (E) \\
 (6) \quad &F \rightarrow \mathbf{id}
 \end{aligned}$$

Construimos el autómata de prefijos viables calculando los conjuntos de items  $LR(0)$  de la gramática, que nos quedan

$$\begin{aligned}
 I_0 : \quad &S \rightarrow \cdot E \\
 &E \rightarrow \cdot E+T \\
 &E \rightarrow \cdot T \\
 &T \rightarrow \cdot T*F
 \end{aligned}$$

$$\begin{aligned}
& T \rightarrow \cdot F \\
& F \rightarrow \cdot (E) \\
& F \rightarrow \cdot \mathbf{id} \\
I_1 : & S \rightarrow E \cdot \\
& E \rightarrow E \cdot + T \\
I_2 : & E \rightarrow T \cdot \\
& T \rightarrow T \cdot * F \\
I_3 : & T \rightarrow F \cdot \\
I_4 : & F \rightarrow (\cdot E) \\
& E \rightarrow \cdot E + T \\
& E \rightarrow \cdot T \\
& T \rightarrow \cdot T * F \\
& T \rightarrow \cdot F \\
& F \rightarrow \cdot (E) \\
& F \rightarrow \cdot \mathbf{id} \\
I_5 : & F \rightarrow \mathbf{id} \cdot \\
I_6 : & E \rightarrow E + \cdot T \\
& T \rightarrow \cdot T * F \\
& T \rightarrow \cdot F \\
& F \rightarrow \cdot (E) \\
& F \rightarrow \cdot \mathbf{id} \\
I_7 : & T \rightarrow T * \cdot F \\
& F \rightarrow \cdot (E) \\
& F \rightarrow \cdot \mathbf{id} \\
I_8 : & F \rightarrow (E \cdot) \\
& E \rightarrow E \cdot + T \\
I_9 : & E \rightarrow E + T \cdot \\
& T \rightarrow T \cdot * F \\
I_{10} : & T \rightarrow T * F \cdot \\
I_{11} : & F \rightarrow (E) \cdot
\end{aligned}$$

siendo el autómata resultante de la forma

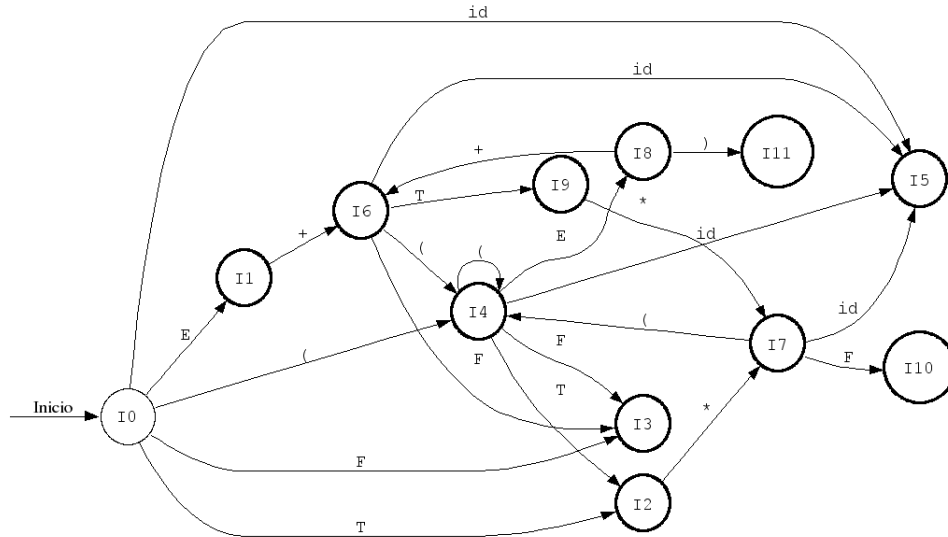


Figura 1: Autómata de Prefijos Viabiles para el Ejemplo 2

Ahora podemos construir la tabla de parsing  $SLR(1)$  según el algoritmo descrito previamente

|    | +               | *               | (              | )               | id             | \$              | E | T | F  |
|----|-----------------|-----------------|----------------|-----------------|----------------|-----------------|---|---|----|
| 0  |                 |                 | <i>shift 4</i> |                 | <i>shift 5</i> |                 | 1 | 2 | 3  |
| 1  | <i>shift 6</i>  |                 |                |                 |                | <i>accept</i>   |   |   |    |
| 2  | <i>reduce 2</i> | <i>shift 7</i>  |                | <i>reduce 2</i> |                | <i>reduce 2</i> |   |   |    |
| 3  | <i>reduce 4</i> | <i>reduce 4</i> |                | <i>reduce 4</i> |                | <i>reduce 4</i> |   |   |    |
| 4  |                 |                 | <i>shift 4</i> |                 | <i>shift 5</i> |                 | 8 | 2 | 3  |
| 5  | <i>reduce 6</i> | <i>reduce 6</i> |                | <i>reduce 6</i> |                | <i>reduce 6</i> |   |   |    |
| 6  |                 |                 | <i>shift 4</i> |                 | <i>shift 5</i> |                 |   | 9 | 3  |
| 7  |                 |                 | <i>shift 4</i> |                 | <i>shift 5</i> |                 |   |   | 10 |
| 8  | <i>shift 6</i>  |                 |                | <i>shift 11</i> |                |                 |   |   |    |
| 9  | <i>reduce 1</i> | <i>shift 7</i>  |                | <i>reduce 1</i> |                | <i>reduce 1</i> |   |   |    |
| 10 | <i>reduce 3</i> | <i>reduce 3</i> |                | <i>reduce 3</i> |                | <i>reduce 3</i> |   |   |    |
| 11 | <i>reduce 5</i> | <i>reduce 5</i> |                | <i>reduce 5</i> |                | <i>reduce 5</i> |   |   |    |

Cuadro 1: Tabla de Parsing  $SLR(1)$  para el Ejemplo 2

### Cálculo de Items $LR(1)$

Consideremos items acompañados de un símbolo de *lookahead* que nos permitirá caracterizar mejor el avance del proceso del parser dependiendo no solamente del estado actual de la máquina, sino del próximo caracter de la entrada **sin** consumirlo.

Ahora los items son de la forma  $[A \rightarrow \alpha \cdot \beta, \mathbf{a}]$  donde  $\mathbf{a} \in \Sigma \cup \{\$\}$  es el *lookahead*. Si bien todos los items contendrán *lookahead* y deben ser tomados en cuenta para el cálculo de la clausura de items, sólo serán relevantes en los items de la forma  $[A \rightarrow \alpha \cdot, \mathbf{a}]$  para que la acción *reduce* sólo tenga lugar si el siguiente elemento de la entrada es  $\mathbf{a}$ . La presencia del *lookahead* altera la forma en que se calcula la clausura del conjunto de items y el correspondiente autómata de prefijos.

Ahora, para calcular  $CLAUSURA(I)$ :

1. Consideraremos todos los items  $[A \rightarrow \alpha \cdot B\beta, \mathbf{a}] \in I$ .
2. Para cada producción  $B \rightarrow \gamma$  y  $\forall b \in FIRST(\beta\mathbf{a})$  agregaremos  $[B \rightarrow \cdot\gamma, \mathbf{b}]$  a  $CLAUSURA(I)$ .

3. Repetimos los pasos anteriores hasta que no se pueda agregar nada más.

Para hacer más compacta la representación, si en un conjunto de items están presentes los items  $[A \rightarrow \alpha \cdot X\beta, \mathbf{a}]$  y  $[A \rightarrow \alpha \cdot X\beta, \mathbf{b}]$ , abreviaremos escribiendo  $[A \rightarrow \alpha \cdot X\beta, \mathbf{a/b}]$ . En el mismo orden de ideas, diremos que  $A \rightarrow \alpha \cdot X\beta$  es el **núcleo** del conjunto de items.

### Ejemplo 3

Calculemos el conjunto de items  $LR(1)$  y el autómata de prefijos viables para la gramática

$$\begin{aligned} S &\rightarrow CC \\ C &\rightarrow \mathbf{c}C \\ C &\rightarrow \mathbf{d} \end{aligned}$$

comenzando por aumentar la gramática con un nuevo símbolo inicial  $S'$  y la producción  $S' \rightarrow S$ . Continuamos por enumerarlas comenzando desde cero por la producción aumentada, quedando

$$\begin{aligned} (0) \quad S' &\rightarrow S \\ (1) \quad S &\rightarrow CC \\ (2) \quad C &\rightarrow \mathbf{c}C \\ (3) \quad C &\rightarrow \mathbf{d} \end{aligned}$$

El cálculo de los items  $LR(1)$  comienza por el item  $[S' \rightarrow \cdot S, \$]$  procediendo con el cálculo de la clausura, con lo cual nos queda

$$\begin{aligned} I_0 &: [S' \rightarrow \cdot S, \$] \\ &[S \rightarrow \cdot CC, \$] \\ &[C \rightarrow \cdot \mathbf{c}C, \mathbf{c/d}] \\ &[C \rightarrow \cdot \mathbf{d}, \mathbf{c/d}] \\ I_1 &: [S' \rightarrow S \cdot, \$] \\ I_2 &: [S \rightarrow C \cdot C, \$] \\ &[C \rightarrow \cdot \mathbf{c}C, \$] \\ &[C \rightarrow \cdot \mathbf{d}, \$] \\ I_3 &: [C \rightarrow \mathbf{c} \cdot C, \mathbf{c/d}] \\ &[C \rightarrow \cdot \mathbf{c}C, \mathbf{c/d}] \\ &[C \rightarrow \cdot \mathbf{d}, \mathbf{c/d}] \\ I_4 &: [C \rightarrow \mathbf{d} \cdot, \mathbf{c/d}] \\ I_5 &: [S \rightarrow CC \cdot, \$] \\ I_6 &: [C \rightarrow \mathbf{c} \cdot C, \$] \\ &[C \rightarrow \cdot \mathbf{c}C, \$] \\ &[C \rightarrow \cdot \mathbf{d}, \$] \\ I_7 &: [C \rightarrow \mathbf{d} \cdot, \$] \\ I_8 &: [C \rightarrow \mathbf{c}C \cdot, \mathbf{c/d}] \\ I_9 &: [C \rightarrow \mathbf{c}C \cdot, \$] \end{aligned}$$

siendo el autómata resultante de la forma

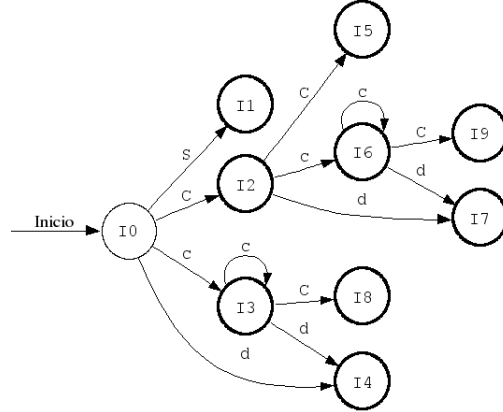


Figura 2: Autómata de Prefijos Viables para el Ejemplo 3

Observemos detalladamente el cálculo de la clausura del item  $I_0$ :

- El item inicial es  $[S' \rightarrow \cdot S, \$]$ .
- Usando las reglas para el cálculo de la clausura debemos considerar todos los items de la forma  $[A \rightarrow \alpha \cdot B\beta, \mathbf{a}]$  y en este caso corresponde

$$\begin{aligned} A &= S' \\ \alpha &= \lambda \\ B &= S \\ \beta &= \lambda \\ \mathbf{a} &= \$ \end{aligned}$$

Luego calculamos  $FIRST(\beta\mathbf{a}) = FIRST(\lambda\$) = \{\$\}$ , y debemos agregar a  $CLAUSURA(I_0)$  los items de la forma  $[B \rightarrow \cdot\gamma, \$]$ , i.e.  $[S \rightarrow \cdot CC, \$]$ .

- Al haber agregado  $[S \rightarrow \cdot CC, \$]$ , debemos repetir el cálculo de clausura sobre el nuevo item de la forma  $[A \rightarrow \alpha \cdot B\beta, \mathbf{a}]$  y en este caso corresponde

$$\begin{aligned} A &= S \\ \alpha &= \lambda \\ B &= C \\ \beta &= C \\ \mathbf{a} &= \$ \end{aligned}$$

Luego calculamos  $FIRST(\beta\mathbf{a}) = FIRST(C\$) = \{\mathbf{c}, \mathbf{d}\}$  y debemos agregar a  $CLAUSURA(I_0)$  los items de la forma  $[B \rightarrow \cdot\gamma, \mathbf{c}/\mathbf{d}]$ , i.e.  $[C \rightarrow \cdot cC, \mathbf{c}/\mathbf{d}]$  y  $[C \rightarrow \cdot d, \mathbf{c}/\mathbf{d}]$ .

- Al haber agregado cuatro nuevos items, debemos repetir el cálculo de clausura sobre cada uno de ellos. Sin embargo, como a la derecha del  $\cdot$  no aparecen símbolos no terminales, no hay nada que agregar.

### Construcción de Tablas de Parsing $LALR(1)$

El algoritmo de construcción queda como:

1. Aumentar la gramática original con un nuevo símbolo inicial  $S'$  tal que agregue la producción  $S' \rightarrow S$  donde  $S$  es el símbolo inicial original de la gramática.
2. Enumerar contando desde cero cada producción de la gramática aumentada comenzando por la nueva producción inicial.

3. Calcular el autómata de prefijos viables a partir de los items  $LR(1)$  de la gramática. Cada conjunto de items  $I_i$  servirá para construir el  $i$ -ésimo estado de la máquina parser  $LALR(1)$ .
4. Identificar conjuntos de items  $I_i$  e  $I_j$  que tengan **núcleo** idéntico, i.e. que los **núcleos** de **todos** los items contenidos en  $I_i$  sean los mismos (en número y forma) que los **núcleos** de **todos** los items contenidos en  $I_j$ . Eliminar ambos conjuntos y reemplazarlos por el conjunto  $I_{ij}$  que tenga los mismos **núcleos**, pero que combine los *lookaheads* de los conjuntos previos.
5. Construir la tabla de *acciones* usando una columna por cada símbolo terminal de la gramática aumentada incluyendo una para  $\$$  y una fila por cada estado:
  - a) Si en el autómata de prefijos viables hay una transición desde  $I_i$  hasta  $I_j$  con el símbolo terminal  $\mathbf{x}$ , entonces  $acciones[i, \mathbf{x}] \leftarrow shift\mathbf{j}$ .
  - b) Si en el autómata de prefijos viables el  $i$ -ésimo conjunto contiene un item de la forma  $[A \rightarrow \alpha \cdot, \mathbf{a}]$  y  $A \rightarrow \alpha$  es la  $n$ -ésima producción de la gramática ( $n > 0 \wedge A \neq S'$ ), entonces  $acciones[i, \mathbf{a}] \leftarrow reduce\mathbf{n}$ , i.e. llenar con *reduce* solamente las columnas que correspondan al *lookahead* calculado.
  - c) Si en el autómata de prefijos viables el  $i$ -ésimo conjunto contiene un item de la forma  $[S' \rightarrow S \cdot, \$]$ , entonces  $acciones[i, \$] \leftarrow accept$ .
  - d) El resto de la tabla de *acciones* se llena con *error*.
6. Construir la tabla de *goto* usando una columna por cada símbolo no-terminal de la gramática original y una fila por cada estado. Si en el autómata de prefijos viables hay una transición desde  $I_i$  hasta  $I_j$  con el símbolo no terminal  $X$  entonces  $goto[i, X] \leftarrow j$ .

Continuando con el Ejemplo 3 comenzamos por notar que los conjuntos  $I_3$  e  $I_6$  tienen el mismo **núcleo**. Por tanto podemos reemplazar ambos conjuntos por el conjunto

$$I_{36} : \begin{array}{l} [C \rightarrow C \cdot C, \mathbf{c/d/\$}] \\ [C \rightarrow \cdot \mathbf{c}C, \mathbf{c/d/\$}] \\ [C \rightarrow \cdot \mathbf{d}, \mathbf{c/d/\$}] \end{array}$$

y notamos que todas las transiciones que llegaban al estado  $I_3$  ahora llegan al estado  $I_{36}$ , así como también las transiciones que llegaban al estado  $I_6$ . Del mismo modo, las transiciones que salían del estado  $I_3$  ahora salen desde el estado  $I_{36}$  con el mismo destino, así como también las transiciones que salían del estado  $I_6$ . Una observación similar podemos hacer con los conjuntos  $I_4$  e  $I_7$  que son reemplazados por el conjunto

$$I_{47} : [C \rightarrow \mathbf{d} \cdot, \mathbf{c/d/\$}]$$

y con los conjuntos  $I_8$  e  $I_9$  que son reemplazados por el conjunto

$$I_{89} : [C \rightarrow \mathbf{c}C \cdot, \mathbf{c/d/\$}]$$

Nos queda entonces el conjunto reducido de items,

$$\begin{array}{l} I_0 : [S' \rightarrow \cdot S, \$] \\ \quad [S \rightarrow \cdot CC, \$] \\ \quad [C \rightarrow \cdot \mathbf{c}C, \mathbf{c/d}] \\ \quad [C \rightarrow \cdot \mathbf{d}, \mathbf{c/d}] \\ I_1 : [S' \rightarrow S \cdot, \$] \\ I_2 : [S \rightarrow C \cdot C, \$] \\ \quad [C \rightarrow \cdot \mathbf{c}C, \$] \\ \quad [C \rightarrow \cdot \mathbf{d}, \$] \\ I_{36} : [C \rightarrow \mathbf{c} \cdot C, \mathbf{c/d/\$}] \end{array}$$

$$\begin{aligned}
& [C \rightarrow \cdot cC, c/d/\$] \\
& [C \rightarrow \cdot d, c/d/\$] \\
I_{47} & : [C \rightarrow d\cdot, c/d/\$] \\
I_5 & : [S \rightarrow CC\cdot, \$] \\
I_{89} & : [C \rightarrow cC\cdot, c/d/\$]
\end{aligned}$$

y el autómata reducido de prefijos viables tiene la forma

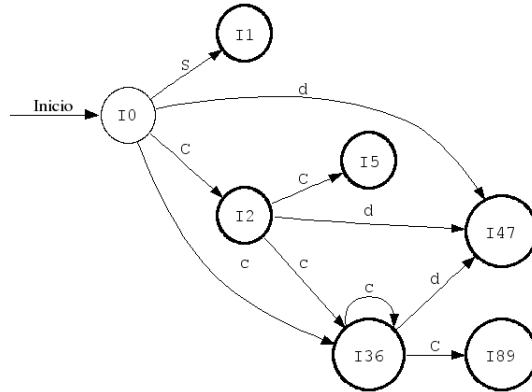


Figura 3: Autómata Reducido de Prefijos Viables para el Ejemplo 3

Finalmente construimos la tabla de parsing  $LALR(1)$  según el algoritmo, quedando

|    | <b>c</b>        | <b>d</b>        | <b>\$</b>       | <b>S</b> | <b>C</b> |
|----|-----------------|-----------------|-----------------|----------|----------|
| 0  | <i>shift 36</i> | <i>shift 47</i> |                 | 1        | 2        |
| 1  |                 |                 | <i>accept</i>   |          |          |
| 2  | <i>shift 36</i> | <i>shift 47</i> |                 |          | 5        |
| 36 | <i>shift 36</i> | <i>shift 47</i> |                 |          | 89       |
| 47 | <i>reduce 3</i> | <i>reduce 3</i> | <i>reduce 3</i> |          |          |
| 5  |                 |                 | <i>reduce 1</i> |          |          |
| 89 | <i>reduce 2</i> | <i>reduce 2</i> | <i>reduce 2</i> |          |          |

Cuadro 2: Tabla de Parsing  $LALR(1)$  para el Ejemplo 3